

Dauerstandversuche mit Stahlbetonbalken

Autor(en): **Brendel, G. / Rühle, H.**

Objektyp: **Article**

Zeitschrift: **IABSE congress report = Rapport du congrès AIPC = IVBH
Kongressbericht**

Band (Jahr): **7 (1964)**

PDF erstellt am: **12.07.2024**

Persistenter Link: <https://doi.org/10.5169/seals-7899>

Nutzungsbedingungen

Die ETH-Bibliothek ist Anbieterin der digitalisierten Zeitschriften. Sie besitzt keine Urheberrechte an den Inhalten der Zeitschriften. Die Rechte liegen in der Regel bei den Herausgebern.

Die auf der Plattform e-periodica veröffentlichten Dokumente stehen für nicht-kommerzielle Zwecke in Lehre und Forschung sowie für die private Nutzung frei zur Verfügung. Einzelne Dateien oder Ausdrucke aus diesem Angebot können zusammen mit diesen Nutzungsbedingungen und den korrekten Herkunftsbezeichnungen weitergegeben werden.

Das Veröffentlichen von Bildern in Print- und Online-Publikationen ist nur mit vorheriger Genehmigung der Rechteinhaber erlaubt. Die systematische Speicherung von Teilen des elektronischen Angebots auf anderen Servern bedarf ebenfalls des schriftlichen Einverständnisses der Rechteinhaber.

Haftungsausschluss

Alle Angaben erfolgen ohne Gewähr für Vollständigkeit oder Richtigkeit. Es wird keine Haftung übernommen für Schäden durch die Verwendung von Informationen aus diesem Online-Angebot oder durch das Fehlen von Informationen. Dies gilt auch für Inhalte Dritter, die über dieses Angebot zugänglich sind.

Dauerstandversuche mit Stahlbetonbalken

Tests on Reinforced Concrete Beams Under Long-Term Loads

Essais sur poutres en béton armé soumises à des charges de longue durée

G. BRENDEL

Professor, Dipl.-Ing.,
Technische Universität Dresden

H. RÜHLE

Dr.-Ing., Dresden

1. Zweck der Versuche

Neben einer ausreichenden Bruchsicherheit wird von Stahlbetonkonstruktionen auch die Einhaltung unschädlicher Rißweiten und Durchbiegungen gefordert. Im Zusammenhang mit der Einführung neuer Berechnungsverfahren im Stahlbetonbau wurden im Deutschen Amt für Material- und Warenprüfung Dresden u. a. 8 Balken durch gleichbleibende Lasten beansprucht, um die Auswirkungen einer Dauerbelastung insbesondere auf die Rißbildung zu studieren. Nach knapp 2 Jahren waren die Kriechverformungen und Rißerweiterungen abgeklungen, wonach die Dauerlasten entfernt und die Balken in Kurzzeitversuchen bis zum Bruch neu belastet wurden.

2. Versuchsbalken und deren Belastung

Tabelle 1 enthält die Hauptangaben für die Versuchsbalken. Die Balkenpaare I, III und IV stimmen in Abmessungen und Bewehrung überein, desgleichen die mit Torstahl 60 bewehrten Balkenpaare II, V und VI.

Die Balkenpaare I und II wurden in Kurzzeitversuchen zu Bruch gebracht. Bei den Balkenpaaren III und V wurden, nachdem eine starke Rißbildung eingetreten war, die zugehörigen hohen Lasten als Dauerlasten unveränderlich beibehalten. Die Balkenpaare IV und VI hingegen wurden mit Vorsicht nur so hoch belastet, daß sich die ersten Risse durch Strukturänderungen im Beton zwar ankündigten, aber noch nicht sichtbar wurden. Unter dieser Dauerlast traten die ersten sichtbaren Risse bei den Balken mit Rundstahl nach 2 $\frac{1}{2}$ Monaten, bei den Balken mit Torstahl nach 3 Monaten spontan auf.

Die Balkenquerschnitte und der Aufbau des Versuchsstandes sind aus Fig. 1 zu ersehen. Die Größe der Dauerlast wurde wöchentlich kontrolliert und gegebenenfalls reguliert.

Während der Dauerbelastung wurden Luftfeuchte und Temperatur in engen Grenzen gehalten. Messungen an Schwindprismen, Kriechprismen, Druckwürfeln und Biegezugbalken in bestimmten Zeitabständen ergänzten die Balken-

Tabelle 1

Bezeichnung der Balken	Hauptbewehrung	Dauermoment kpm	Rißmoment kpm	Bruchmoment kpm
I/1	R 9 \varnothing 16	—	2200	9740
I/2	R 9 \varnothing 16	—	3300	9900
II/1	T 5 \varnothing 14	—	1300	11100
II/2	T 5 \varnothing 14	—	1300	10400
III/1	R 9 \varnothing 16	9350	2090	11820
III/2	R 9 \varnothing 16	9350	2090	12100
IV/1	R 9 \varnothing 16	2200	2200	11000
IV/2	R 9 \varnothing 16	2200	2200	11500
V/1	T 5 \varnothing 14	6500	2730	—
V/2	T 5 \varnothing 14	6500	2730	13000
VI/1	T 5 \varnothing 14	1300	1300	11480
VI/2	T 5 \varnothing 14	1300	1300	11700

R = Rundstahl St I ($\sigma_S = 2540 \dots 3220 \text{ kp/cm}^2$, $\sigma_{Bruch} = 3490 \dots 4560 \text{ kp/cm}^2$),
 T = Torstahl 60 ($\sigma_{0,2} = 6460 \dots 6500 \text{ kp/cm}^2$, $\sigma_{Bruch} = 7480 \text{ kp/cm}^2$),
 Betondruckfestigkeit $W_{30} = 312 \text{ kp/cm}^2$.

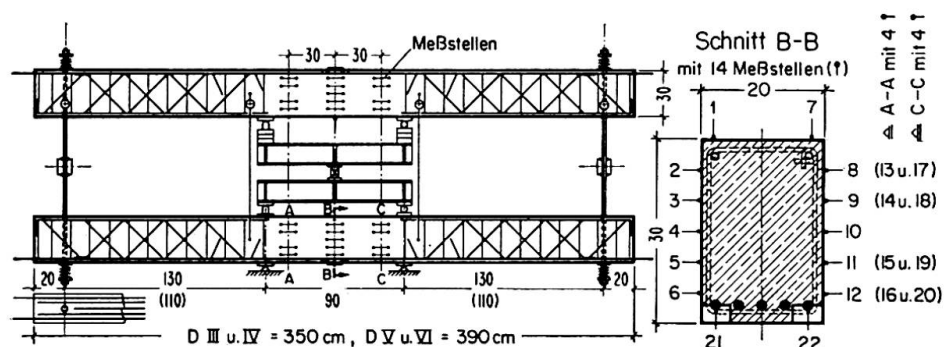


Fig. 1. Dauerversuchsstand und Balkenquerschnitt (Torstahl 60).

versuche. Der Einfluß der Änderungen von Temperatur und Luftfeuchte wurde an etwa 1 Jahr alten, abgelagerten Betonprismen beobachtet.

Für die Dehnungsmessungen am Beton und Stahl wurde ein Albrechtscher Setzdehnungsmesser benutzt (Meßlängen 100 mm, Ablesegenauigkeit $1/1000$ mm).

3. Versuchsergebnisse

Infolge der starken Balkenbewehrung wanderte die Nulllinie bei steigender Belastung gegen den Zugrand. Wie erwartet, vergrößerte sich aber die Betondruckzone vor allem infolge des Kriechens des Betons unter Dauerlast. Das

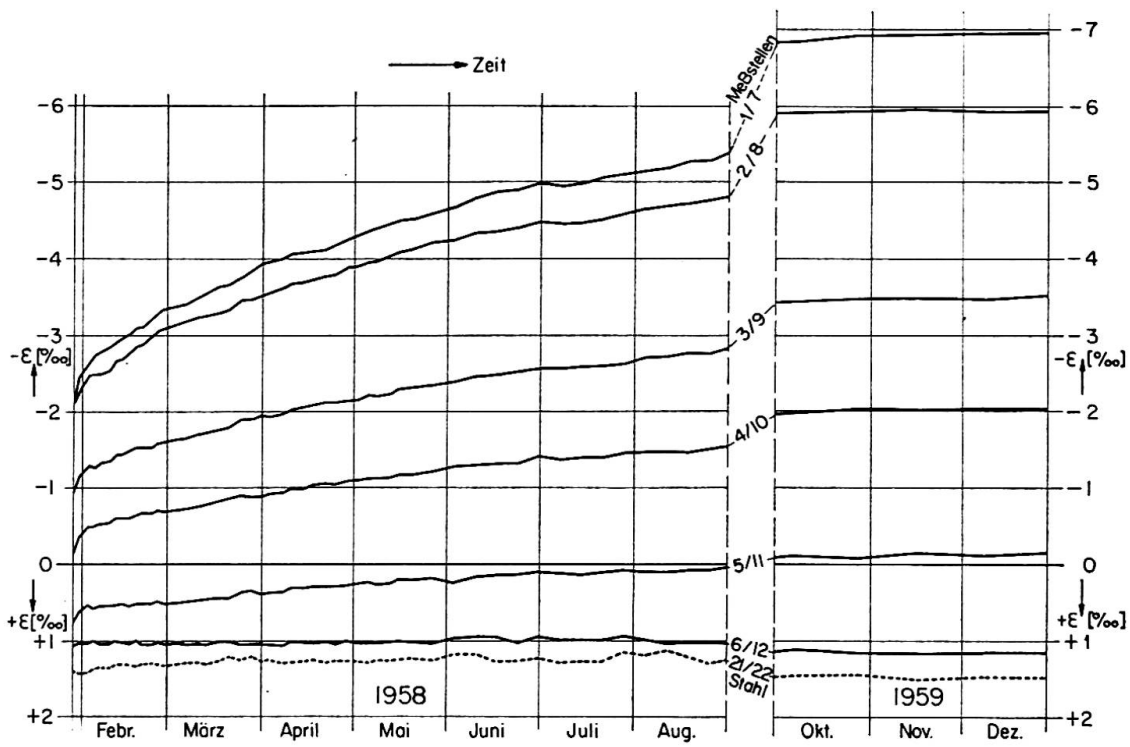


Fig. 2. Dehnungen des Betons und Stahles (Balken III/1).

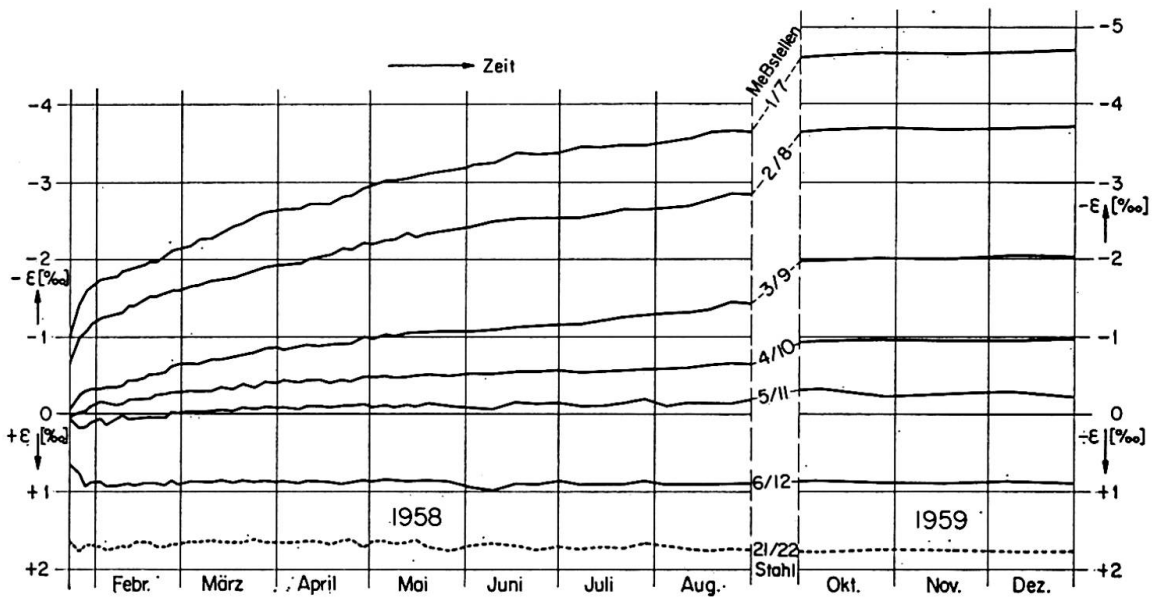


Fig. 3. Dehnungen des Betons und Stahles (Balken V/1).

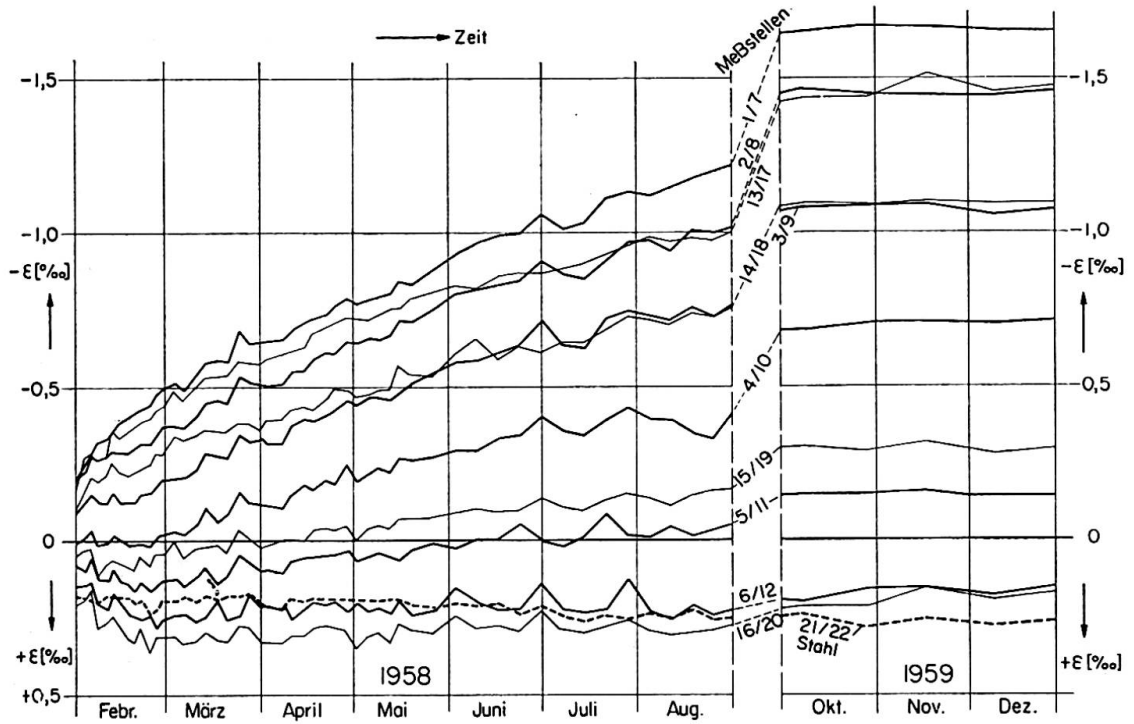


Fig. 4. Dehnungen des Betons und Stahles (Balken IV/1).

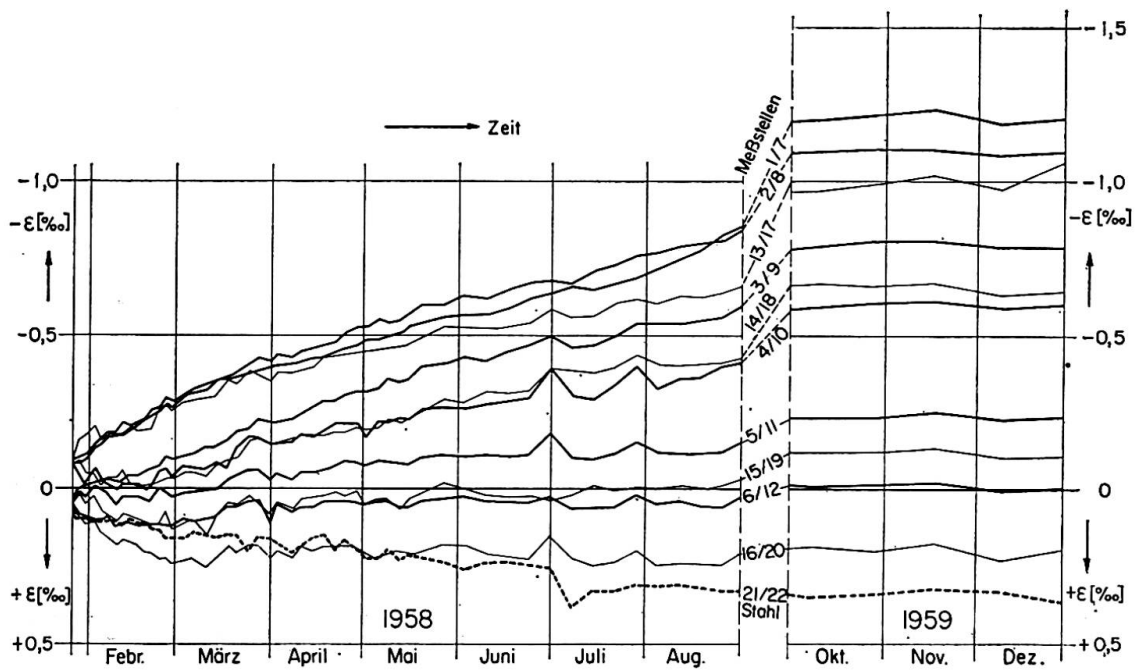


Fig. 5. Dehnungen des Betons und Stahles (Balken VI/1).

dadurch verursachte Anwachsen der Stahldehnungen geht aus Fig. 2 bis 5 hervor.

Mit Rücksicht auf das Wandern der Nulllinie wurden von allen Kriechwerten in der Betondruckzone nur diejenigen am oberen bzw. unteren Druckrand vergleichsweise herangezogen.

Mit φ = Kriechzahl am zentrisch gedrückten Betonprisma

$$\varphi' = \frac{\text{Kriechverkürzung}}{\text{sofortige Verkürzung}} \text{ am Druckrand}$$

$$\varphi'' = \frac{\text{Kriechdurchbiegung}}{\text{sofortige Durchbiegung}}$$

ergaben die Versuche folgende Verhältniswerte $\varphi : \varphi' : \varphi''$

$$\text{III } 5,8 : 2,0 : 0,4 = 1 : 0,35 : 0,07 = 2,90 : 1 : 0,20$$

$$\text{IV } 5,8 : 4,4 : 1,2 = 1 : 0,76 : 0,21 = 1,32 : 1 : 0,27$$

$$\text{V } 5,8 : 2,7 : 0,7 = 1 : 0,47 : 0,12 = 2,15 : 1 : 0,26$$

$$\text{VI } 5,8 : 4,1 : 1,2 = 1 : 0,71 : 0,21 = 1,41 : 1 : 0,29$$

Hierbei sind die an den Betonprismen gemessenen Längenänderungen infolge Schwinden und Temperaturschwankungen berücksichtigt. Die für die Berechnung der Balkendurchbiegung aus den Randverformungen maßgebenden Kriechzahlen φ' sind kleiner als die für die entsprechenden zentrisch gedrückten Prismen gefundenen Kriechzahlen anzusetzen. Besonders auffällig ist die Abhängigkeit von der Größe des Dauermomentes, wobei der Unterschied bei Balken mit Torstahl weniger groß war als bei den stärker bewehrten Balken mit Rundstahl. Die Werte φ'' sind kleiner als die Werte φ' , weil die biegungerzeugenden Kriechverformungen nur in der Druckzone vor sich gehen. Die Abhängigkeit des Verhältniswertes $\varphi'' : \varphi' = 0,20 \dots 0,27$ bzw. $0,26 \dots 0,29$ von der Höhe der Dauerlast dürfte auf die erst später einsetzende Rißbildung der gering belasteten Balken zurückzuführen sein.

Während der Dauerbelastung wurden die Rißbilder beobachtet und die Veränderungen von Anzahl, Weite und Länge der Risse festgehalten (siehe Fig. 6 bis 9). Die Rißweiten verringerten sich am Schluß der Dauerstandversuche geringfügig, was auf Temperaturschwankungen zurückzuführen sein dürfte.

Sowohl bei den Balken mit niedriger Dauerlast als auch bei Balken mit sehr hoher Dauerlast haben sich die anfänglichen maximalen Rißweiten etwa verdoppelt.

Die Summe der Rißweiten vergrößerte sich bei den zunächst rißfreien Balken zwischen dem 2. und 23. Monat der Belastung auf das etwa 3fache, wobei die Anzahl der Risse um etwa 10% zunahm. Auch bei den sehr hoch belasteten Balken mit Rundstahlbewehrung stieg die Summe der Rißweiten auf das 3fache der Summe unmittelbar nach Aufbringen der Dauerlast, während es

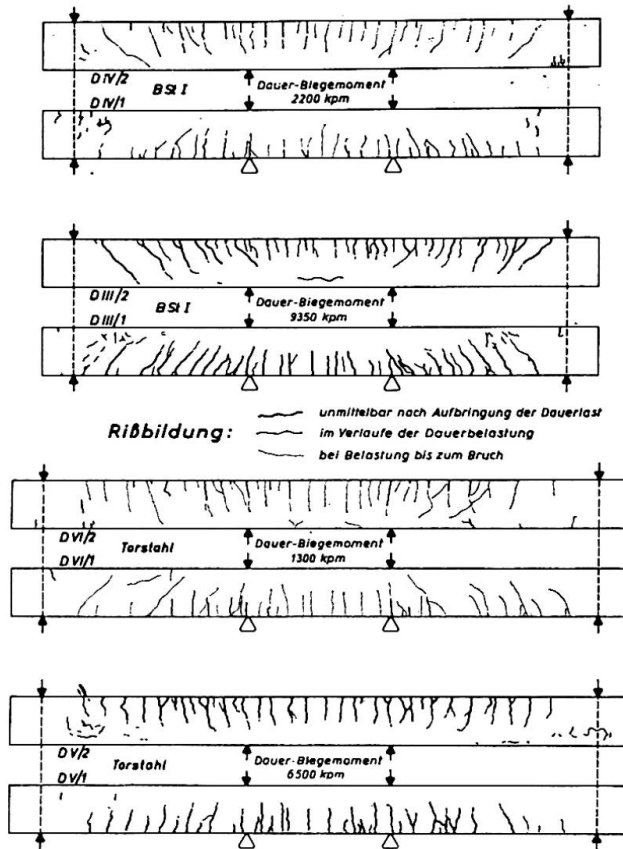


Fig. 6. Ribbildung.

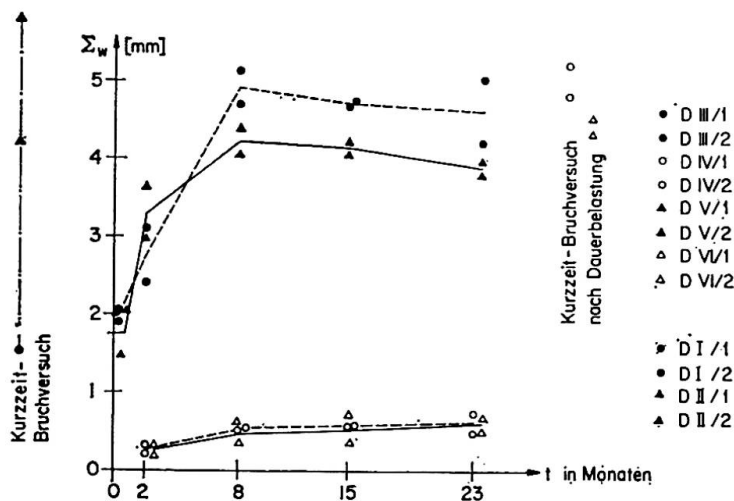


Fig. 7. Summe der Rißweiten (--- Rundstahl, — Torstahl 60).

bei den Balken mit Torstahlbewehrung nur das 2fache war. Die Steigerung der Anzahl der Risse betrug dabei ebenfalls etwa 10%.

Die Anzahl der Risse und die maximale Rißbreite waren, besonders bei den Balken mit Rundstahlbewehrung, im Bruchzustand nach vorangegangener Dauerlast größer als bei Bruchbelastung im Kurzzeitversuch. Hinsichtlich der Summe der Rißweiten konnte dies nur bei den Balken mit Rundstahl I festgestellt werden.

Der Bruch trat bei allen 12 Balken durch Zerstörung der Betondruckzone ein. Die Bruchlasten der vorher dauerbelasteten Balken waren durchweg 10

Fig. 8. Anzahl der Risse.

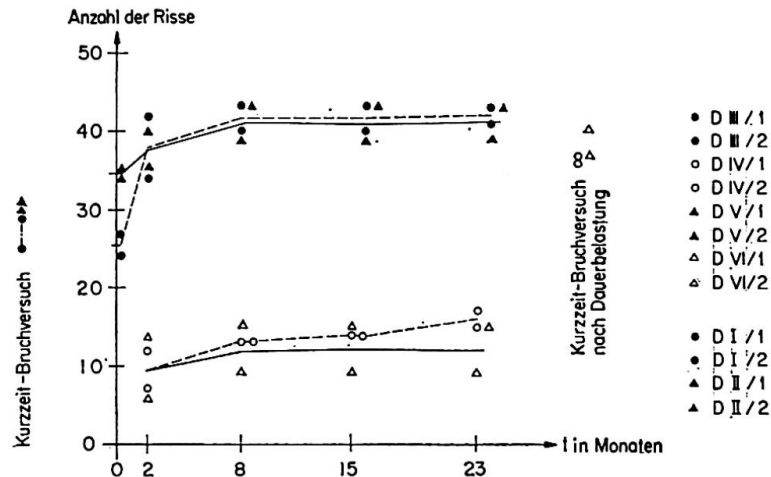
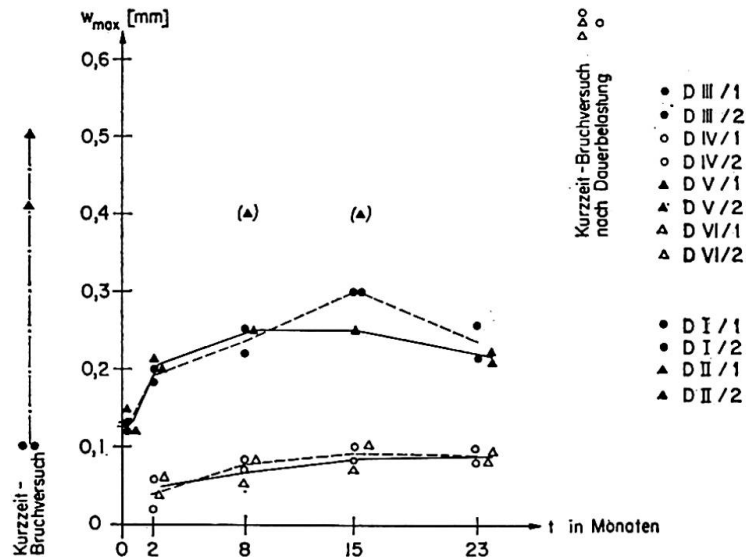


Fig. 9. Maximale Riweite.



bis 15% grer als die entsprechenden Kurzzeit-Bruchlasten, was auf die Festigkeitszunahme im Laufe der Zeit zurckzufhren ist. Die Betonstauchungen am Rand der Druckzone betragen kurz vor Erreichen des Bruches bei den Kurzzeitversuchen 2,6 bis 2,8‰, bei den Balken mit niedriger Dauerlast nach Wegnahme derselben und anschließender Neubelastung bis zum Bruch nur 1,8 bis 1,9‰ und im Falle der sehr hohen Dauerlast wegen des groen Anteiles der bleibenden Verformungen an den Gesamtverformungen noch weniger.

Zusammenfassung

An 8 Stahlbetonbalken wurden Riverhalten und Verformungen unter Dauerlast whrend zweier Jahre beobachtet. Die anfnglichen maximalen Riweiten haben sich unabhngig von der Gre der Dauerlast sowohl bei den Balken mit Rundstahl als auch bei den Balken mit Torstahl 60 etwa verdop-

pelt, die Summen der Rißweiten etwa verdreifacht. Dies muß bei den Nachweisen für die Einhaltung der zulässigen Rißweite von Stahlbetonbalken beachtet werden. Die Kriechzahl für zentrisch belastete Betonprismen wirkt sich nur zum Teil in der Betondruckzone und in Abhängigkeit von der Größe der Dauerlast aus. Die im Bruchzustand gegenüber Kurzzeitversuchen besonders bei den Balken mit gewöhnlichem Rundstahl ungünstigeren Rißerscheinungen führten infolge der mit der Zeit zunehmenden Druckfestigkeit des Betons zu keiner Abminderung der Kurzzeit-Bruchlast.

Summary

Cracking and deformation have been observed on 8 reinforced concrete beams under long-term loads over a period of two years. The width of the largest crack increased to double its size independently of the magnitude of the imposed load; the sum of the widths of all the cracks increased threefold during the same period of time. This must be taken into consideration in the prediction of the width of the largest crack which must not be exceeded. The relations between the deformations due to creep and the elastic strains observed for concrete prisms under a centred compressive load are not applicable to the compression zone of a beam. For the latter, smaller creep strains were found, which depended upon the size of the long-term load. The additional cracking as a result of the long-term load did not reduce the short-term ultimate load, because the compressive strength of the concrete was increased.

Résumé

On a observé, sur une période de 2 ans, la fissuration et les déformations de 8 poutres en béton armé soumises à des charges permanentes. La largeur des fissures qui, initialement, étaient les plus grandes, a doublé indépendamment de l'intensité de la charge permanente, et cela aussi bien dans le cas d'aciers habituels que dans le cas de poutres armées d'aciers Tor 60; la somme des largeurs de toutes les fissures d'une poutre a triplé dans le même temps. Ceci doit être pris en considération si l'on veut que la largeur des fissures reste en deçà des tolérances. Les relations entre les déformations élastiques et de fluage, observées dans les prismes chargés à la compression pure, ne sont pas applicables à la zone comprimée des poutres; on y trouvera des déformations de fluage plus petites et liées à la grandeur de la charge permanente. Grâce à l'augmentation de la résistance du béton à la compression, la fissuration additionnelle, due aux charges permanentes, n'a pas diminué la charge de rupture dans les essais rapides à la ruine.